

# ارزیابی اثر شوینده‌های مختلف بر پاکسازی خاک رسی آلوده به دی‌متیل‌فتالات به روش الکتروکیتیک

حسام فتحعلی<sup>۱</sup>، علی رئیسی استبرق<sup>۲\*</sup>

۱ دانشجوی دکتری مهندسی سازه‌های آبی، گروه مهندسی آبیاری و آبادانی، دانشکده کشاورزی، دانشکدگان کشاورزی و منابع طبیعی، دانشگاه تهران.

۲ استاد، گروه مهندسی آبیاری و آبادانی، دانشکده کشاورزی، دانشکدگان کشاورزی و منابع طبیعی، دانشگاه تهران.

Email: raeesi@ut.ac.ir

تاریخ پذیرش: [۱۴۰۲/۱۲/۰۹]

تاریخ دریافت: [۱۴۰۲/۰۷/۰۲]

## چکیده

روش الکتروکیتیک یکی از روش‌های متداول است که برای پاکسازی خاک‌های آلوده به آلاینده‌های آلی و غیرآلی مورد استفاده قرار می‌گیرد. حلالیت بعضی از آلاینده‌های آلی در آب محدود است، بنابراین در این روش برای افزایش راندمان پاکسازی خاک‌های آلوده مذکور، باید از شوینده‌های مناسب استفاده شود. در این پژوهش اثر سه ماده شوینده SDS، Poloxamer 407 و Brij 35 به همراه تغییرات pH بر پاکسازی یک خاک رسی آلوده به ماده دی‌متیل‌فتالات با انجام آزمایش‌های الکتروکیتیک مورد مطالعه قرار گرفت. بر اساس میزان جذب این آلاینده به وسیله خاک مورد استفاده، خاک آلوده با غلظت ۴۰ mg/Kg به طور مصنوعی در آزمایشگاه تهیه شد. آزمایش‌ها در یک دستگاه که متشکل از یک محفظه اصلی با طول و عرض و ارتفاع ۳۰، ۱۰ و ۳۰ سانتی‌متر و از جنس پلاکسی گلاس با ضخامت ۱ سانتی‌متر بود، انجام شدند. در دو طرف محفظه اصلی دو مخزن قرار داشت که مخازن آند و کاتند نامیده می‌شوند. خاک آلوده پس از اشباع به محفظه اصلی دستگاه منتقل شد. مخزن آند دستگاه از محلول‌های شوینده SDS، Poloxamer 407 و Brij 35 با غلظت‌های ۳ درصد و مخزن کاتند نیز در تمامی آزمایش‌ها از آب مقطر پر شد. یک آزمایش مرجع نیز برای مقایسه نتایج با سایر آزمایش‌ها شامل آب مقطر در مخازن آند و کاتند انجام یافت. آزمایش‌های مذکور به مدت ۷ روز و تحت ولتاژ ۵۰ ولت انجام شدند. در پایان هر آزمایش، مقاومت برشی در نقاطی از خاک با فواصل ۴، ۱۲، ۱۹ و ۲۶ سانتی‌متر از آند به وسیله پره اندازه‌گیری شد. از نقاط مذکور، برای تعیین pH و درصد پاکسازی خاک به وسیله دستگاه Gas Chromatography (GC) نمونه‌برداری صورت پذیرفت. نتایج نشان دادند که مقاومت برشی خاک برای محلول‌های مختلف با افزایش فاصله از آند افزایش می‌یابد که این مقدار در فاصله ۲۶ سانتی‌متری از آند برای آزمایش‌های آب مقطر، Poloxamer 407، Brij 35 و SDS به ترتیب از آند افزایش می‌یابد. همچنین مشاهده شد که با فاصله گرفتن از آند، مقدار pH از اسیدی به قلیایی تغییر می‌یابد. علاوه بر این نتایج، مشاهده شد که درصد پاکسازی برای شوینده SDS در فواصل مذکور معادل ۷۳، ۷۰/۴۷، ۷۰/۴۷ و ۲۰/۱۲، ۱۴/۰۲ و برای Brij 35 مقدار آن برابر با ۰/۵۵، ۰/۶۶، ۰/۶۹ و ۰/۲۱ است. همچنین مقادیر پاکسازی برای شوینده Poloxamer 407 نیز برابر با ۰/۹۷، ۰/۸۹، ۰/۸۴ و ۰/۲۴ و برای آب مقطر برابر با ۰/۵۳، ۰/۵۳/۰/۵۳ و ۰/۷۷ است. درصد اندازه‌گیری شدند. مقایسه نتایج نشان داد که اثر پاکسازی شوینده‌ها به صورت  $SDS > Brij 35 > Poloxamer 407$  است.

**واژگان کلیدی:** الکتروکیتیک، دی‌متیل‌فتالات، خاک رسی، پاکسازی، pH

## ۱- مقدمه

در پاکسازی خاک بسیار موثر است [3]. Bruell و همکاران (۱۹۹۲) اثر pH در پاکسازی خاک آلوده به محلول‌های آلی مانند بنزن، زنین و هگزان را مورد بررسی قرار دادند [4]. آن‌ها نتیجه گرفتند که جریان الکترواسمزی با درصد پاکسازی آلاینده Shapiro and Probestein (۱۹۹۳) از محلول‌های قلیایی برای افزایش pH راندمان پاکسازی استفاده نمودند [5]. آن‌ها دریافتند تغییر pH آب منفذی در پاکسازی خاک آلوده دارای اهمیت زیادی است. نتایج گزارش شده به وسیله آن‌ها مشابه نتایج به دست آمده توسط پژوهشگرانی مانند Acar و همکاران (۱۹۹۲) و Kim و همکاران (۲۰۰۶) می‌باشد [6, 7]. Jeon و همکاران (۲۰۱۰) اقدام به افزودن محلول NaOH در مخزن آند برای کاهش روند اسیدی شدن خاک نمودند. این عمل منجر به پاکسازی آلاینده‌های نفتی از خاک رسی شد. [8].

برخی پژوهشگران همچون Villen-Guzman و همکاران (۲۰۱۴) با افزودن موادی با خاصیت اسیدی در مخزن کاتد، سبب کاهش pH و به طور همزمان کاهش تولید نمک و رسوب در نزدیکی کاتد در خاک آلوده شدند [9]. آن‌ها مشاهده نمودند که اسید استیک در مخزن کاتد سبب افزایش راندمان پاکسازی خاک آلوده به سرب می‌شود.

Gidudu و همکاران (۲۰۲۲) پارامترهای مختلف موثر در پاکسازی خاک‌های آلوده به مواد آلی از جمله pH را مورد بررسی قرار دادند. آن‌ها دریافتند که نقش pH در میزان پاکسازی خاک از آلاینده بسیار موثر است [10].

پژوهشگرانی مانند Reed و همکاران (۱۹۹۵)، Yeung و همکاران (۱۹۹۶) و Wong و همکاران (۱۹۹۷) در روش پاکسازی به روش الکتروکیتیک برای افزایش راندمان پاکسازی از اضافه نمودن مواد افزودنی در مخازن آند یا کاتد استفاده Ethylene acetic acid (EDTA) نمودند. آن‌ها همچنین ماده diaminetetra (diaminetetra) را به عنوان ماده افزودنی در کاتد برای افزایش راندمان پاکسازی به کار برdenد [11, 12, 13]. Gu و همکاران (۲۰۱۸) نیز با استفاده از ماده EDTA در مخزن آند اقدام به حذف آلاینده Cd از یک خاک رسی نمودند [14]. نتایج آن‌ها

امروزه رشد صنایع در کشورهای توسعه‌یافته همراه با بروز مسائل زیست‌محیطی است. مواد آلاینده ناشی از فعالیت صنایع وارد محیط‌زیست و به ویژه خاک می‌شوند و با نشت آن‌ها به لایه‌های زیرین زمین، موجبات آلودگی آب‌های زیرزمینی فراهم می‌شود. این امر سبب بروز مشکلات بسیاری در زندگی انسان و سایر موجودات می‌شود. در سال‌های اخیر کوشش‌های فراوانی برای پاکسازی خاک‌های آلوده به وسیله روش‌های مختلف صورت پذیرفته است. یکی از این روش‌ها، روش مختلط پژوهشگران در این روش علاوه بر پاکسازی خاک، میزان تغییرات مقاومت بر بشی آن را نیز مطالعه نموده‌اند [1]. این روش مبتنی بر تزریق جریان الکتریسیته به خاک آلوده است که موجب پدیده‌هایی مانند مهاجرت الکتریکی، الکتروفورز و الکترواسمز می‌شود.

مهاجرت الکتریکی شامل انتقال یون‌های موجود در آب منفذی خاک است، در حالی که الکتروفورز موجب انتقال کلوئیدها می‌شود. الکترواسمز نیز شامل انتقال آب و مایع بین فضاهای توده خاک است. یکی از آثار مهم اعمال جریان الکتریسیته، الکتروولیز نمودن مولکول‌های آب در آند و کاتد است به طوری که سبب تولید  $H^+$  و  $OH^-$  در آن‌ها می‌شود. این واکنش‌ها موجب تولید اسید و باز در اطراف آند و کاتد می‌شوند. اسید و باز تولیدی توسط مایع موجود به خاک وارد می‌شود. این عمل سبب تغییر pH خاک و ایجاد یک گرادیان pH در داخل توده خاک می‌شود. بنابراین می‌توان گفت یکی از آثار پدیده الکتروکیتیک تغییر در کیفیت شیمیایی خاک از طریق ایجاد گرادیان pH در آن است.

Acar and Alshawabkeh (۱۹۹۳) به تشریح تغییرات ایجاد شده در اثر اعمال جریان الکتریسیته و تغییر pH، در یک خاک آلوده به فلزات پرداختند. آن‌ها دریافتند که گرادیان pH ایجاد شده در خاک برای انتقال آلاینده‌ها و پاکسازی خاک آلوده به فلزاتی مانند سرب و کلسیم موثر است [2].

Eykholt and Daniel (۱۹۹۴) به بررسی اثر pH در تغییر کیفیت شیمیایی آب حفره‌ای در پاکسازی یک خاک آلوده به Cu نمودند. تحقیقات آن‌ها نشان داد که تغییرات ناشی از pH

آلاینده‌های آلی و فلزات سنگین به میزان بیشتری از خاک حذف می‌شوند [19]. Boulakradeche و همکاران (۲۰۱۵) پاکسازی خاک رسی آلوده به ماده هیدروکربنی n-hexadecane را توسط سورفکتانت‌های آنیونی و غیریونی در فرآیند الکتروکیتیک انجام دادند. نتایج آن‌ها نشان داد سورفکتانت SDS عملکرد بهتری نسبت به سایر سورفکتانت‌های مورد استفاده در میزان پاکسازی خاک آلوده داشت [20].

Estabragh و همکاران (۲۰۱۹) نیز با استفاده از سورفکتانت Tween 80 اقدام به حذف آلاینده آتراسن از یک خاک رسی به روش الکتروکیتیک کردند و نتایج قابل قبولی گزارش دادند [21].

Li و Jiang (۲۰۲۱) پاکسازی خاک آلوده به نفت خام را با سورفکتانت‌های ۸۰ Tween، SDS و رامتوپلیپید به روش الکتروکیتیک مطالعه نمودند. آن‌ها نتیجه گیری کردند که افزایش میزان جریان الکترواسسمزی موجب افزایش حذف آلوده شود [22].

Fardin و همکاران (۲۰۲۱) اقدام به پاکسازی خاک آلوده به نفت خام به روش الکتروکیتیک با استفاده از سورفکتانت‌های SDS و Tween ۸۰ کردند. نتایج آن‌ها نشان داد که SDS و Tween ۸۰ به ترتیب قادر به حذف ۵۵ و ۵۲ درصد نفت خام از خاک هستند. همچنین نتیجه گیری کردند که افزایش غلظت سورفکتانت می‌تواند موجب افزایش کارایی پاکسازی خاک آلوده شود [23].

Mohamadi و همکاران (۲۰۲۱) نیز اثر سورفکتانت Brij 35 و Tween 80 را به همراه افزایش ولتاژ و کترول pH در میزان پاکسازی خاک آلوده به سرب، روی، نیکل و فناتنر مطالعه کردند. آن‌ها نتیجه گیری نمودند که ۳۲ درصد مجموع آلاینده‌ها توسط Brij 35 حذف شدند [24].

Ganbat و همکاران (۲۰۲۲) با استفاده از سورفکتانت‌های Tween ۸۰ و SDS اقدام به پاکسازی یک خاک کائوپلینیتی آلوده به ماده پرفلوروکتانوئیک اسید (PFOA) که یک آلاینده زیستمحیطی پایدار و غیرقابل تجزیه زیستی است، کردند. آن‌ها به این نتیجه دست یافتند که اثر SDS در میزان پاکسازی این آلاینده از خاک نسبت به Tween 80، بیشتر است [25].

نشان داد که استفاده از محلول ۰/۱ مولار EDTA، موجب حذف ۷۵ درصد از کادمیم موجود در خاک می‌شود.

سورفکتانت‌ها یکی دیگر از موادی می‌باشد که برای افزایش راندمان پاکسازی به روش الکتروکیتیک بیشتر در مخزن آند مورد استفاده قرار می‌شوند. سورفکتانت‌ها بر اساس بخش فعلی سطحی خود به چهار نوع آنیونی، کاتیونی، غیریونی و خنثی تقسیم‌بندی می‌شوند. از این‌ین استفاده از سورفکتانت‌های کاتیونی به علت دارا بودن بار مثبت و جذب توسط خاک رسی توصیه نمی‌شوند [15].

بیشترین کاربرد سورفکتانت‌ها در زمینه افزایش میزان حلایت مواد نامحلول از جمله ترکیبات آلی در آب می‌باشد. فرآیند افزایش حلایت از طریق کاهش کشش سطحی و کشش بین سطحی در لایه حد فاصل بین هوا و آب و نیز ترکیبات آلی انجام می‌گیرد. اکثر هیدروکربن‌های آلی در آب به صورت غیر محلول بوده و آب گریز نامیده می‌شوند. به همین دلیل اضافه نمودن سورفکتانت‌ها به خاک آلوده به مواد آلی می‌تواند موجب افزایش پاکسازی آن شود.

Reddy و Saichek (۲۰۰۳) از سورفکتانت غیریونی برای افزایش راندمان پاکسازی یک خاک رسی آلوده به فناتنر استفاده کردند [16]. Maturi and Reddy (۲۰۰۶) از سورفکتانت‌های آنیونی و غیریونی به منظور پاکسازی یک خاک رسی آلوده به فناتنر در مخزن آند استفاده کردند. نتایج به دست آمده نشان داد که استفاده از سورفکتانت‌های آنیونی و غیریونی در افزایش راندمان پاکسازی خاک آلوده بسیار موثر بوده است [17]. Han و همکاران (۲۰۰۹) از سورفکتانت Tergitol 15-S-7 و ماده EDTA برای افزایش راندمان پاکسازی خاک آلوده به گازوئیل به روش الکتروکیتیک استفاده نمودند [18]. آن‌ها نتیجه گرفتند که استفاده همزمان از Tergitol 7-15-S-7 و ماده EDTA در افزایش راندمان پاکسازی خاک آلوده به گازوئیل چندان موثر نیست. Reddy و همکاران (۲۰۱۰) نیز با استفاده از سورفکتانت Igepal CA-720 و محلول EDTA اقدام به پاکسازی خاک رسی آلوده به مواد آلی و فلزات سنگین کردند. نتایج آن‌ها نشان داد وقتی از ترکیب ۲/۵ درصد Igepal CA-720 و EDTA در مخزن آند استفاده شود،

جز کار تحقیقاتی فتحعلی و همکاران (۱۴۰۲) گزارش نشده است [34]. این پژوهش در حقیقت ادامه مطالعات قبلی فتحعلی و همکاران (۱۴۰۲) می‌باشد.

در این تحقیق برای اولین بار اثر شوینده‌های مختلف بر پاکسازی خاک آلوده به دی‌متیل‌فتالات از روش الکتروکیتیک مورد مطالعه صورت گرفته است. بنابراین، هدف از این کار تحقیقاتی عبارت است از ۱) تحقیق در خصوص اثر شوینده‌های مختلف از جمله SDS، Brij و Poloxamer 407، ۲) در تعیین راندمان پاکسازی خاک آلوده به دی‌متیل‌فتالات، ۳) مقایسه نتایج حاصل از پاکسازی با استفاده از شوینده‌های مختلف و مقایسه آنها با یکدیگر و با نتایج پاکسازی آن با آب مقطر، ۴) بررسی اثر تغییرات pH خاک در میزان پاکسازی و مقاومت برشی این خاک آلوده و ۵) انتخاب بهترین شوینده که ایجاد راندمان پاکسازی قابل قبول می‌کند تا برای پاکسازی خاک آلوده به این آلاینده در محل مورد استفاده قرار گیرد.

## ۲- مواد و روش‌ها

در این پژوهش مواد شیمیایی، دستگاه الکتروکیتیک و روش انجام آزمایش بیان می‌شود.

### ۱-۲ مواد مورد استفاده

مواد مورد استفاده در این پژوهش عبارتند از: خاک، آب، دی‌متیل‌فتالات و سورفکتانت‌هایی شامل بrij ۳۵ (Brij 35)، پلاکسمر ۴۰۷ (Poloxamer 407) و سدیم دو دسیل سولفات (SDS). ویژگی‌های هریک از آنها به شرح زیر ارائه می‌شود.

### ۲-۱ خاک مورد استفاده

در این پژوهش از یک خاک رس کائولینیتی استفاده شد. این نوع خاک در تحقیقات پژوهشی بسیاری از پژوهشگران مانند Gomes و همکاران (۲۰۱۲) و Estabragh و همکاران (۲۰۱۹) استفاده شده است [21, 35]. جدول (۱) ویژگی‌های فیزیکی و مکانیکی خاک مورد استفاده را که بر اساس استانداردهای ASTM تعیین شده اند نشان می‌دهد.

Effendi و همکاران (۲۰۲۲) نیز اثر غلظت بحرانی میسل<sup>۱</sup> در میزان پاکسازی یک خاک رسی آلوده به هیدروکربن‌های نفتی به روش الکتروکیتیک بررسی کردند. نتایج آنها نشان داد که افزایش غلظت میسل تا میزان مشخصی ( نقطه بهینه ) سبب افزایش راندمان پاکسازی می‌شود و پس از آن تأثیری بر راندمان پاکسازی نخواهد داشت [26].

Tang و همکاران (۲۰۲۲) اثر سورفکتانت‌های رامنولیپید، SDS و Tween 80 را در پاکسازی یک خاک رسی آلوده به هیدروکربن‌های نفتی مطالعه نمودند. آنها دریافتند که سورفکتانت رامنولیپید در پاکسازی بهتر از بقیه سورفکتانت‌های مورد استفاده می‌باشد [27]. پژوهشگران دیگری مانند Huang و همکاران (۲۰۲۲) دریافتند که در پاکسازی آلاینده‌های آلی حلقوی، سورفکتانت Tween 80 تاثیر چندانی در میزان پاکسازی آن ندارد [28].

Li و همکاران (۲۰۲۳) روش پاکسازی الکتروکیتیک را بهسازی نمودند و امکان پذیر شد که خاک‌های آلوده به کادمیم را با راندمان بالا و مطلوب پاکسازی نمایند [29].

بررسی منابع منتشره شده نشان می‌دهد که تاکنون مطالعات گسترده‌ای در خصوص پاکسازی خاک‌های آلوده به فلزات از روش الکتروکیتیک صورت پذیرفته است، اما مطالعات مربوط به پاکسازی خاک‌های آلوده به آلاینده‌های آلی محدود می‌باشند. یکی از آلاینده‌های آلی که موجب آثار نامطلوب بر محیط‌زیست نیز می‌شود، دی‌متیل‌فتالات است [30]. سازمان حفاظت محیط‌زیست کشورهای مختلف از جمله آمریکا، کانادا و اتحادیه اروپا این ماده آلاینده را در گروه مواد آلاینده پرخطر منظور نموده‌اند [31]. این آلاینده از طریق خاک‌های آلوده می‌تواند وارد زنجیره غذایی شده و خطراتی را برای سلامتی و زندگی انسان ایجاد نماید. در سال‌های اخیر نیز پاکسازی خاک‌های آلوده به این ماده مورد توجه پژوهشگران قرار گرفته است. Wang و همکاران (۲۰۲۱) و Moreno و همکاران (۲۰۲۰) با استفاده از سایر روش‌ها اقدام به پاکسازی خاک آلوده به آن نمودند [32, 33]. ولیکن تاکنون مطالعاتی در مورد پاکسازی خاک‌آلوده به دی‌متیل‌فتالات از روش الکتروکیتیک به

<sup>۱</sup> CMC (Critical Micelles Concentration)

همچنین بر اساس آزمایش تراکم استاندارد، میزان رطوبت بهینه ۱۷/۹ درصد و وزن واحد حجم خشک ماکریم آن برابر با  $17/71 \text{ KN/m}^3$  تعیین شدند. جدول (۲) پارامترهای شیمیایی اندازه‌گیری شده خاک مورد استفاده را نشان می‌دهد. نتایج این آزمایش‌ها نشان داد که pH خاک ۸ می‌باشد که مقدار کمی قلیایی است. همچنین درصد مواد آلی آن  $0/11$  درصد می‌باشد که نشان دهنده آن است که خاک مورد بررسی حاوی درصد ناچیزی از مواد آلی است.

### ۲-۱-۲ آب مورد استفاده

آب مقطر با pH برابر با ۷ و هدایت الکتریکی (EC) برابر با  $0/009 \text{ mS/cm}$  برای انجام آزمایش‌ها مورد استفاده قرار گرفت.

### ۳-۱-۲ آلانیده مورد استفاده (دی‌متیل فتالات)

استرهای فتالاتی (PAEs) از ترکیبات و مشتقات نفتی هستند که از دهه‌های اخیر در زمینه پلاستیک سازی، رنگ، چسب سازی، صنایع کاغذ و مقوا و سموم کشاورزی مورد استفاده قرار گرفته‌اند [36]. اولین استفاده از فتالات‌ها به دهه ۱۹۳۰ به منظور ساخت لوازم پلاستیکی را یادآوری می‌کند. استرهای فتالاتی می‌توانند سبب ایجاد حساسیت‌های پوستی، تنفسی، آسیب‌های کبدی، مشکلات تولید مثل، مشکلات هورمونی و سرطان‌زاوی و جهش زایی ژنی شوند [37]. یکی از استرهای فتالاتی با نام دی‌متیل فتالات با فرمول شیمیایی  $\text{C}_{10}\text{H}_{10}\text{O}_4$  است که در این پژوهش مورد استفاده قرار گرفت. این ماده به صورت مایع بی رنگ است و محصولی از شرکت مرک آلمان می‌باشد. ویژگی‌های فیزیکی و شیمیایی اخذ شده از شرکت مذکور، در جدول (۳) آورده شده است.

### جدول ۳. ویژگی‌های فیزیکی و شیمیایی دی‌متیل فتالات

Chemical formula	$\text{C}_{10}\text{H}_{10}\text{O}_4$
Molar mass (g/mol)	194.18
Melting point ( $^{\circ}\text{C}$ )	2
Boiling point ( $^{\circ}\text{C}$ )	284
Density ( $\text{gr/cm}^3$ )	1.189
Solubility (mg/L)	4000
Appearance	liquid

Table. 3. Physical and chemical properties of dimethyl phthalate

### جدول ۱. ویژگی‌های فیزیکی خاک

$G_s$	2.74
Atterberg limit	
LL (%)	48
PL (%)	25
PI (%)	23
Grain size analysis	
Gravel	0%
Sand	2%
Silt	45%
Clay	53%
Classification	CL
Compaction	
$\omega_{opt} (%)$	17.9
$\gamma d_{max} (\text{KN/m}^3)$	17.71

Table. 1. Physical and mechanical properties of soil

همانطور که از جدول (۱) مشخص است، وزن مخصوص خاک ( $G_s$ ) برابر با ۲/۷۴ تعیین شد. حدود آتربرگ شامل میزان حد روانی و حد خمیری این خاک به ترتیب برابر با ۴۸ و ۲۵ درصد اندازه‌گیری شدند. نتایج آزمایش دانه‌بندی نشان داد که خاک مورد استفاده فقد شن بوده و درصد ماسه، سیلت و رس آن به ترتیب برابر با ۲، ۴۵ و ۵۳ درصد است. با استفاده از نتایج آزمایش دانه‌بندی و حدود آتربرگ و بر اساس سامانه طبقه‌بندی یونیفاید، خاک مورد استفاده، خاکی رسی با پلاستیسیته کم (CL) طبقه‌بندی شد.

### جدول ۲. ویژگی‌های شیمیایی خاک

Parameter	Amount
pH	8
EC (mS/cm)	0.0107
$\text{Ca}^{2+}$ (meq/l)	24
$\text{K}^{2+}$ (meq/l)	0.33
$\text{CL}^-$ (meq/l)	60
$\text{SO}_4^{2-}$ (meq/l)	83
$\text{CO}_3^{2-}$ (meq/l)	0.6
$\text{CaCO}_3$ (%)	10.2
$\text{Mg}^{2+}$ (meq/l)	10
O.C* (%)	0.11

\*Organic Content

Table. 2. Chemical composition of the soil

الکتروکیتیک در تحقیقات گذشته نیز استفاده شده است.  
[39,21]

### ۱-۲-۳-۴ سدیم دو سیل سولفات (SDS)

سدیم دو سیل سولفات (SDS) یک سورفکتانت آنیونی با فرمول شیمیایی  $\text{NaC}_{12}\text{H}_{25}\text{SO}_4$  و چگالی  $1.01 \text{ g/cm}^3$  می‌باشد. این ماده از لحاظ ظاهری به شکل یک جامد سفید رنگ است. از جمله کاربردهای آن در تهیه مواد بهداشتی (شامپو و صابون برای توانایی آن در ایجاد کف) است. بسیاری از پژوهشگران از این سورفکتانت به منظور افزایش راندمان پاکسازی یک خاک آلوده به آلاینده‌های آلی به روش الکتروکیتیک استفاده نمودند [40, 41].

### ۲-۲ دستگاه مورد استفاده

به منظور انجام آزمایش‌ها از دستگاه الکتروکیتیک که در شکل (۱) نشان داده شده است، استفاده شد. این دستگاه دارای طول و عرض و ارتفاع به ترتیب  $30 \times 30 \times 10$  سانتی‌متر و ضخامت ۱ سانتی‌متر از جنس پلکسی گلاس است. دستگاه مذکور دارای یک محفظه اصلی به منظور قرار دادن خاک در آن می‌باشد. در دو طرف آن دو محفظه دیگر برای قرار دادن محلول‌های آنولیت و کاتولیت قرار دارد. در هریک از مخازن آنولیت و کاتولیت، یک صفحه مشبک از جنس فولاد ضد زنگ با ضخامت ۱ میلی‌متر مورد استفاده قرار گرفت. این صفحات (الکترودها) آند و کاتد نامیده می‌شوند.

### ۲-۴ شوینده‌ها

شوینده‌های مورد استفاده در این تحقیق Brij 35، Poloxamer 407 و SDS می‌باشند که 35 Brij و SDS از محصولات تولیدی شرکت مرک آلمان و Poloxamer 407 از شرکت سیگما آلدريچ می‌باشند و به صورت محلول ۳ درصد وزنی در مخزن آند دستگاه الکتروکیتیک استفاده شدند. خلاصه‌ای از خواص آن‌ها به شرح زیر است:

### ۱-۴-۱ بrij ۳۵ (Brij 35)

Brij 35 یک سورفکتانت غیریونی است که بیشتر در صنایع کاربرد دارد. این ماده به صورت جامد و به شکل پودری سفید رنگ می‌باشد. Brij 35 در تحقیق برخی از پژوهشگران در زمینه پاکسازی خاک به روش الکتروکیتیک مورد استفاده قرار گرفته است [38].

### ۲-۴-۱-۲ پلاکسمو ۴۰۷ (Poloxamer 407)

Poloxamer 407 یک سورفکتانت غیریونی آبدوست با فرمول شیمیایی  $\text{C}_{572}\text{H}_{1146}\text{O}_{259}$  می‌باشد. جرم مولی آن برابر با  $1260 \text{ g/mol}$  و به شکل پودری سفید رنگ است. یکی از کاربردهای آن در تهیه لوازم آرایشی و بهداشتی برای حل کردن مواد روغنی در آب می‌باشد. از Poloxamer 407 به عنوان افزایش حلالیت مواد آلی در پاکسازی خاک‌های آلوده به روش

شکل ۱. مقطع دستگاه الکتروکیتیک

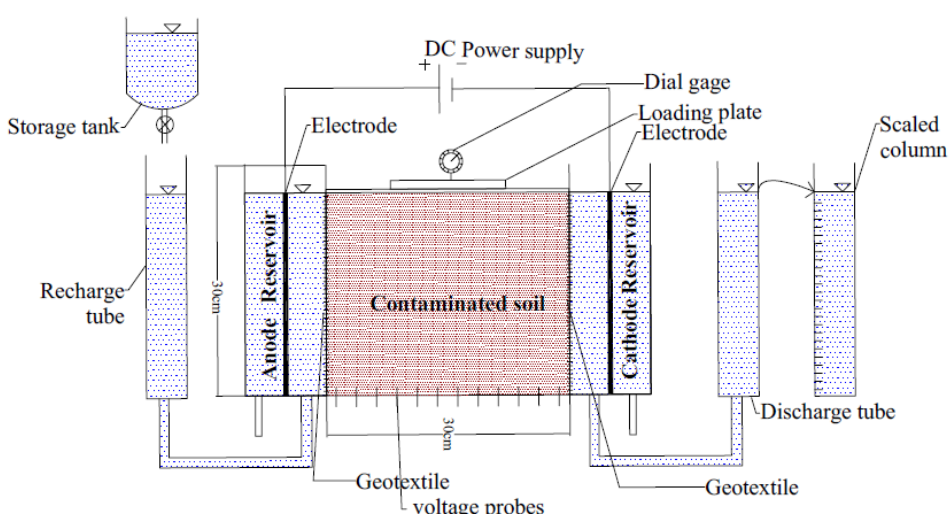


Fig. 1. Cross section of apparatus

تا فرآیند جذب آلاینده به خاک به خوبی صورت پذیرد. پس از آن به این مخلوط، آب مقطر اضافه شد تا رطوبت خاک به بیش از حد روانی برسد. این مخلوط دوباره در یک ظرف دربسته قرار گرفت تا فرآیند توزیع یکنواختی رطوبت در خاک به طور کامل انجام شود. در ادامه این مخلوط پس از گذشت ۵ روز به محفظه اصلی دستگاه الکتروکیتیک منتقل شد. مخلوط مورد نظر با استفاده از یک میله فلزی به طور کامل متراکم شد تا خاک به طور یکنواخت درون محفظه قرار بگیرد و هوای محبوس درون خاک از آن خارج شود [42]. پس از آن در آزمایش نخست به عنوان آزمایش مرجع مطابق جدول (۴) هر دو مخازن آند و کاتد از آب مقطر پر شدند به طوری که سطح تراز مایعات در هر دو مخزن و خاک یکسان باشد تا از پدیده جریان ناشی از گرادیان هیدرولیکی جلوگیری به عمل آید. سپس سرباری به میزان ۱ کیلوپاسکال روی خاک به مدت ۷ روز قرار داده شد تا خاک نشست طبیعی خود را داشته باشد [42]. در ادامه الکترودهای دستگاه درون مخازن آند و کاتد قرار داده شد و توسط منبع تغذیه، جریان الکتریسیته به میزان ۵۰ ولت به مدت ۷ روز به کاتد و آند آن اعمال شد [43]. مطابق جدول (۴) در سایر آزمایش‌ها به ترتیب محلول‌های ۳ درصد SDS (آزمایش (۲)، Poloxamer 407 (آزمایش (۳) و Brij 35 (آزمایش (۴) در مخزن آند قرار داده شد. هر کدام از آزمایش‌ها در ۳ تکرار انجام شد و میانگین آن‌ها به عنوان نتیجه نهایی در نظر گرفته شد.

همچنین با سایر متعلقات دیگر دستگاه شکل (۱)، سطح مایع هر دو مخزن قابل کنترل است. در کف قسمت محفظه اصلی دستگاه، تعدادی پروب از جنس فلز مس که رسانای جریان الکتریسیته می‌باشد، نصب شده است. شدت جریان الکتریکی و اختلاف پتانسیل به کمک این پروب‌ها و با استفاده از ولت متر در طول نمونه خاک قابل اندازه‌گیری است. در بالای محفظه اصلی نیز، یک صفحه برای اعمال بار به خاک تعییه شده است. این صفحه مجهر به یک گیج است که توسط آن می‌توان تغییرات ناشی از نشست خاک را ثبت کرد.

### ۳-۲ روش انجام آزمایش

فتتحی و همکاران (۱۴۰۲) میزان جذب حداکثر آلاینده مذکور را برای این خاک  $87 \text{ mg/Kg}$  گزارش نمودند. با اعمال مقدار کمتری از آن یعنی معادل  $40 \text{ mg/Kg}$  برای آلوده کردن خاک انتخاب شد [34].

در این پژوهش اجرای ۴ آزمایش اصلی برنامه ریزی شد که مشخصات آن‌ها در جدول (۴) آورده شده است. به منظور انجام آزمایش الکتروکیتیک، ابتدا خاک آلوده بر اساس میزان  $40 \text{ mg/Kg}$  تهیه شد. برای تهیه خاک آلوده، ابتدا  $360 \text{ میلیگرم}$  دی‌متیلفتالات در  $1800 \text{ میلیلیتر آب}$  مقطر حل شد. سپس این محلول به  $9 \text{ کیلوگرم}$  خاک خشک شده در هوا به طور اسپری اضافه شد تا تمامی خاک در تماس با آلاینده قرار بگیرد. این مخلوط در یک ظرف دربسته به مدت ۳۶ ساعت قرار گرفت

جدول ۴. مشخصات انجام آزمایش‌ها

Test number	Anolyte	Catholyte	Applied voltage	Amount of soil contamination (mg/kg)
1	Distilled water	Distilled water	50	40
2	SDS-3%	Distilled water	50	40
3	Poloxamer 407-3%	Distilled water	50	40
4	Brij 35 -3%	Distilled water	50	40

Table 4. Specifications of experimental tests

### ۳- نتایج

در ادامه به ارائه نتایج حاصل از انجام هر آزمایش الکتروکیتیک پرداخته می‌شود و بحث در رابطه با آن‌ها نیز به شرح زیر است.

### ۱-۳ نشست

همان‌گونه که در بخش قبل بیان شد، در هنگام فرآیند الکتروکیتیک، یک گیج در قسمت فوقانی محفظه اصلی دستگاه روی صفحه بارگذاری نصب شده بود تا میزان تغییرات نشست نمونه خاک را اندازه‌گیری کند. قبل از اتصال جریان الکتریسیته، نشست خاک تحت سربار ۱ کیلو پاسکال طی ۷ روز اندازه‌گیری شد. ثبت تغییرات تا زمان ثابت شدن مقدار نشست خاک ادامه یافت. در ادامه با اعمال جریان الکتریسیته نیز میزان نشست ناشی از جریان الکتریسیته اندازه‌گیری شد.

نتایج شکل (۲) نشان می‌دهد که سرعت تغییرات نشست برای کلیه محلول‌های به کار رفته در سه روز اول آزمایش زیاد است. با گذشت زمان از شدت تغییرات آن‌ها کاسته می‌شود به طوری که بعد از گذشت شش روز تقریباً به مقدار ثابتی می‌رسند. در انتهای آزمایش مقادیر نهایی آن برای محلول‌های SDS، Poloxamer 407، Brij 35 و آب مقتدر به ترتیب معادل ۱۰/۱، ۹/۳، ۸/۶ و ۸/۸ میلی‌متر می‌باشد. این نتایج نشان می‌دهد که در آزمایش SDS، بیشترین نشست رخ داده است. علت این امر را می‌توان به ساختار شیمیایی SDS مربوط دانست. به نظر می‌رسد یون‌های آزاد شده در سورفکتانت SDS هنگام فرآیند الکتروکیتیز پس از قرارگیری در مخزن آند وارد خاک شده است. این یون‌ها در تبادل با کانی‌های خاک رسی قرار گرفته‌اند و در عمل سبب تضعیف ساختار خاک و سست شدن پیوندهای موجود آن‌ها می‌شود. این پدیده سبب می‌شود تا در پایان خاک نشست بیشتری در آزمایش SDS نسبت به سایر آزمایش‌ها داشته باشد.

نمودار شکل (۲) نشان می‌دهد که میزان نشست به دست آمده از کاربرد Brij 35 کمتر از سایر محلول‌ها است. می‌توان علت آن را ناشی از عدم یونی بودن و فاقد سرآبدوست بودن آن

### ۱-۳-۲ روش‌های آنالیز نتایج

در طول انجام آزمایش اصلی مقادیر pH و EC مایع داخل مخازن آند و کاتد در فواصل زمانی مشخص مطابق با استاندارهای ASTM-D1293-18(2018) و ASTM-D1125-14 (2023) [44، 45]. پس از اتمام هر آزمایش، مقاومت برشی خاک در نقاطی با فواصل ۴، ۱۲، ۱۹ و ۲۶ سانتی‌متر از آند به وسیله پره مطابق استاندارد (2017) ASTM D4648-00 تعیین شد [46]. نمونه‌هایی از خاک مذکور از فواصل مذکور برداشت شد. مقادیر pH آن‌ها نیز با استفاده از استاندارد (2019) ASTM-D4972 اندازه‌گیری شد [47]. آزمایش آبشویی نیز مطابق استاندارد EPA8061-A (1996) روی نمونه‌ها صورت پذیرفت [48]. برای این منظور نمونه‌های تهیه شده از نقاط گفته شده پس از قراردادن در هوای آزاد به طور کامل خشک و سپس آسیاب شدند. نمونه‌های برداشت شده از الک نمره ۱۰ عبور داده شدند و ۱۰ گرم از آن با ۱۵ میلی‌لیتر هگزان نرمال و ۱۵ میلی‌لیتر استون (محلول ۱:۱) مخلوط شدند. در ادامه مخلوط مذکور به مدت ۱۰ دقیقه در دستگاه لرزاننده (ورتکس<sup>۲</sup>) قرار داده شد. مخلوط مذکور در دستگاه اولتراسونیک با بیشینه توان خود به میزان ۷۵ وات به مدت ۵ دقیقه قرار گرفت و دوباره به مدت ۱۰ دقیقه در دستگاه لرزاننده قرار داده شد. پس از ته نشینی ذرات خاک، ۱۰ میلی‌لیتر از مایع قسمت فوقانی مخلوط برداشت شد و با ۲ گرم نمک سولفات سدیم (Na<sub>2</sub>SO<sub>4</sub>) به مدت ۱۵ دقیقه در دستگاه سانتریفیوژ قرار گرفت تا تمامی ذرات جامد معلق در مخلوط ته نشین شوند. و آسیبی به دستگاه (Gas chromatography GC) وارد نشود. در انتها ۲ میلی‌لیتر از نمونه‌ها برداشته و به ظروف مربوط به دستگاه GC تزریق شد. در ابتدا نیز منحنی کالیبره برای ارتباط بین پیک و غلظت دی‌متیل‌فتالات تعیین شد به طوری که با استفاده از آن میزان غلظت آلاینده در نمونه‌ها تعیین شد و در صد پاکسازی خاک از آلاینده به دست آمد.

<sup>2</sup> Vortex

Poloxamer 407 و SDS و Brij 35 در آند برابر با ۳/۹۹ و ۳/۷۳ و ۳/۳۸ است که از pH مربوط به آب مقطر که برابر با Brij 35 و Poloxamer 407 بود بیشتر است. در آزمایش ۴۰۷ در مخزن آند که سورفکتانت‌های غیریونی بودند، میزان pH در مخزن آند در انتهای آزمایش کمی بیشتر از آب مقطر بود. می‌توان گفت که هر چند سورفکتانت‌های غیریونی ۴۰۷ و Poloxamer ۳۵ تاثیر به سزایی در میزان pH نداشتند ولی به علت ساختار خود توانسته‌اند تا حدودی نسبت به آب مقطر کمتر اسیدی شوند. به نظر می‌رسد این دو سورفکتانت غیریونی توانسته‌اند در مخزن آند تعدادی از یون‌های  $H^+$  حاصل از فرآیند الکترولیز را جذب کنند و موجب افزایش pH در مخزن آند شوند. همچنین سورفکتانت آنیونی SDS در مخزن آند سبب شده است که میزان تولید یون  $H^+$  نسبت به شرایط استفاده از آب مقطر کاهش پیدا نماید. بنابراین تعدادی از یون‌های با منفی در آن با یون  $H^+$  حاصل از الکترولیز واکنش داده‌اند و اثر آن را خنثی کرده‌اند. از همین روی سبب افزایش pH شده‌اند. این نتایج با یافته‌های گزارش شده توسط Giannis و همکاران (۲۰۰۷) هماهنگ است [41]. آن‌ها در تحقیقات خود پاکسازی یک خاک رسی آلوهه به کادمیم را با کمک ماده شوینده SDS مطالعه کردند و مشاهده نمودند که در این آزمایش نسبت به آب مقطر در آند pH کمتر اسیدی و در کاتد بیشتر قیایی می‌شود.

شکل ۳. تغییرات pH در مخازن آند و کاتد با زمان

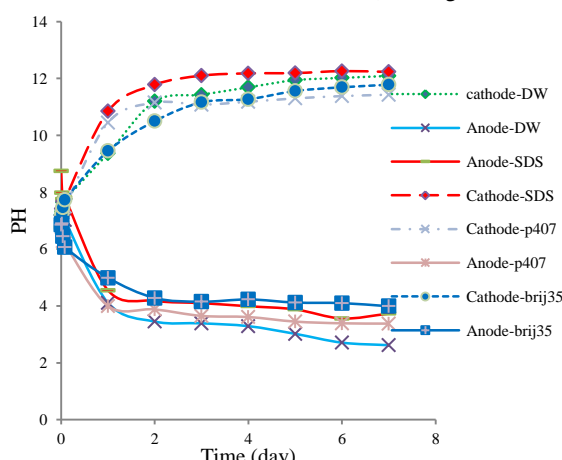


Fig 3. Variations of pH at anode and cathode reservoirs with time

دانست که قادر به واکنش‌های شیمیایی لازم با کانی‌های خاک نیست و موجب می‌شود که در ساختار اولیه خاک و پیوند ذرات آن تغییرات زیادی رخ ندهد که منجر به کاهش نشت شود. این نتایج با یافته‌های پژوهشگرانی مانند Estabragh و همکاران (۲۰۱۹) هماهنگ است [21].

شکل ۲. تغییرات میزان نشت خاک با زمان در طول آزمایش (DW=آب مقطر و p407=Poloxamer 407)

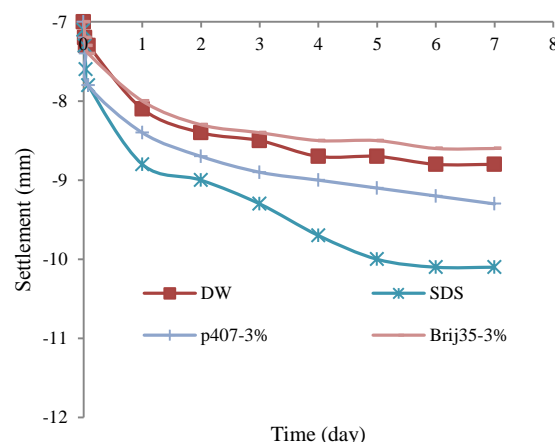


Fig. 2. Variations of settlement with time (Poloxamer 407=p407, DW=distilled water )

### ۲-۳ تغییرات pH مخازن

در طول انجام آزمایش، میزان تغییرات pH در مخازن آند و کاتد به صورت روزانه اندازه‌گیری شد. با توجه به شکل (۳) می‌توان مشاهده نمود که تغییرات pH در مخزن کاتد همانطور که انتظار می‌رفت به سمت قلیایی شدن می‌رود و سرعت این تغییرات تا ۲ روز اول زیاد می‌باشد. این تغییرات پس از آن با سرعت کمتر مشاهده شد. همانطور که از شکل (۳) مشخص است در آزمایشی که از محلول SDS در مخزن آند استفاده شد، سرعت تغییرات pH در مخزن کاتد در ۲ روز اول بیشتر از ۳ آزمایش دیگر است. به نظر می‌رسد که SDS به علت ساختار شیمیایی خود، سبب واکنش‌هایی شده که منجر به تولید بیشتر یون  $OH^-$  می‌شود. آن‌ها خود را به سمت مخزن کاتد می‌رسانند و سبب تشدید جبهه بازی در مخزن کاتد می‌شود. اما با گذر زمان و مسدود شدن فضای بین ذرات خاک، جابه‌جایی یونی کمتری رخ می‌دهد. در مخزن آند نیز مشاهده می‌شود که مقادیر pH مربوط به محلول‌های

Poloxamer 407 استفاده کردند و دریافتند که در مخزن آند روند تغییرات EC نسبت به کاتد کمتر است. همچنین استفاده از شوینده‌های آنیونی سبب افزایش EC در مخازن آند و کاتد شده است.

شکل ۴. تغییرات EC در مخازن آند و کاتد با زمان

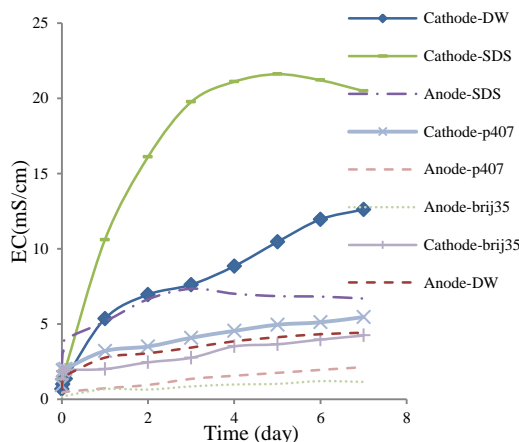


Fig. 4. Variations of EC (Electrical conductivity) at anode and cathode reservoirs with time

#### ۳-۴ حجم مایع خروجی از نمونه

شکل (۵) میزان حجم مایع خروجی را از توده خاک و مخزن کاتد که به صورت روزانه اندازه گیری شد، نشان می‌دهد. میزان حجم مایع خروجی در ابتدای اعمال جریان الکتریستیته در زمان‌های ۰، ۱/۵، ۱ و ۲ ساعت نیز اندازه گیری شد. همانطور که شکل (۵) نشان می‌دهد، در روز اول حجم مایع خروجی برای هر ۴ آزمایش بیشترین مقدار روزانه خود را داشته است. پس از آن میزان مایع خروجی کاهش پیدا کرده است. میزان حجم مایع خروجی تجمعی برای آزمایشی که از SDS در مخزن آند استفاده شده، بیشتر از آزمایش‌های دیگر و Poloxamer 407 است. در حالی که این مقدار برای آزمایش‌های 407 میلی لیتر می‌باشد. در نتیجه، آب قطره 35 به ترتیب برابر با ۱۲۰۵ میلی لیتر می‌باشد. با کمک رابطه هلمهولتز اسمولوچفسکی می‌توان این موضوع را توجیه نمود. رابطه (۱) به طور کلی بیان می‌کند که سرعت جریان (v) مستقیماً با گرادیان ولتاژ اعمال شده ( $E_z$ )، پتانسیل زتا ( $\zeta$ ) و

#### ۳-۵ تغییرات EC مخازن

شکل (۴) میزان تغییرات EC (هدایت الکتریکی) در مخازن آند و کاتد را نشان می‌دهد. همان‌طور که از شکل (۴) مشخص است، هم در مخزن آند و هم در مخزن کاتد در تمامی آزمایش‌ها روند تغییرات EC صعودی است. در مخزن کاتد روند تغییرات بیشتر از مخزن آند می‌باشد. علت اصلی آن را می‌توان به تعداد یون‌های تولید شده در آند و جابه‌جایی تعدادی از یون‌های ذرات خاک که هنگام فرآیند مهاجرت الکتریکی از آن جدا شدند و به مخزن کاتد منتقل شدند، مرتبط دانست. نتایج نشان داده شده در شکل (۴) بیانگر آنست که بیشترین مقادیر EC در مخازن آند و کاتد مربوط به محلول SDS (۶/۶۹ mS/cm) و کمترین مقدار آن مربوط به محلول Brij 35 (۱/۱۵ mS/cm) می‌باشد. همان‌گونه که بیان شد سورفتکتان SDS یونی می‌باشد. این خاصیت موجب می‌شود مقادیر یون زیادی از طریق الکترولیز آزاد شود. افزایش یون‌های موجود در این آزمایش سبب افزایش مقادیر EC در مخزن آند می‌شود. همچنین SDS به علت ساختار یونی خود توانسته است سایر یون‌های موجود در خاک را نیز آزاد کند. این موضوع باعث شده است تا در کاتد افزایش EC بیشتری نسبت به سایر آزمایش‌ها مشاهده شود. در خصوص حداقل بودن این مقادیر در مخازن آند و کاتد برای محلول Brij 35 می‌توان آن را ناشی از محبوس شدن یکسری از یون‌ها در شبکه‌های ساختمانی آن بیان نمود. این اثرگذاری برای سورفتکتان غیریونی Poloxamer 407 کمتر می‌باشد. علت بیشتر بودن EC آب قطره نسبت به دو سورفتکتان غیریونی نیز مرتبط به همین شرایط است. عدم وجود ساختارهای شبکه‌ای که می‌تواند یون‌های مختلف را در خود محبوس کند، سبب می‌شود که در آزمایش آب قطره میزان یون تولیدی نسبت به این دو سورفتکتان بیشتر باشد. در نتیجه EC در این آزمایش بیشتر خواهد بود. نتایج مربوط به EC مشابه نتایجی است که توسط Estabragh و همکاران (۲۰۱۹) گزارش شد [21]. آن‌ها برای پاکسازی خاک آلوده به آنتراسن از شوینده‌های مختلفی مانند SDS، Tween80 و

تغییرات پتانسیل زتا مطالعه نمودند [50]. آن‌ها نتیجه‌گیری کردند که شوینده‌های آنیونی می‌توانند مقدار منفی بیشتری در پتانسیل زتا در نمونه خاک نسبت به شوینده‌های غیر یونی و آب مقطر ایجاد کنند که موجب افزایش حجم مایع خروجی از خاک شود. این تغییرات را می‌توان مربوط به عمل متقابل شوینده و ذرات خاک دانست که تغییراتی در پتانسیل زتا ایجاد می‌کنند.

جدول ۵. میزان pH در طول خاک

Distance from Anode (cm)	4	12	19	26
Test number				
1	7.48	6.95	8.55	9.07
2	7.01	7.52	8.68	10.23
3	7.58	8.08	8.29	9.28
4	7.56	7.85	8.01	8.18

Table. 5. Variations of pH along the soil

علت دیگر افزایش حجم مایع خروجی مربوط به SDS را می‌توان مربوط به تولید یون‌های زیاد حاصل از آن در محیط دانست. یون‌های تولید شده ساختمان خاک را تغییر می‌دهند و تعداد فضای بین ذرات افزایش می‌یابد که منجر به افزایش حجم مایع خروجی نسبت به سایر محلول‌ها می‌شود. این نتایج با نتایج حاصل شده از تحقیق Estabragh و همکاران (۲۰۱۸) هماهنگ است [51].

شکل ۵. حجم مایع خروجی از کاتد با زمان

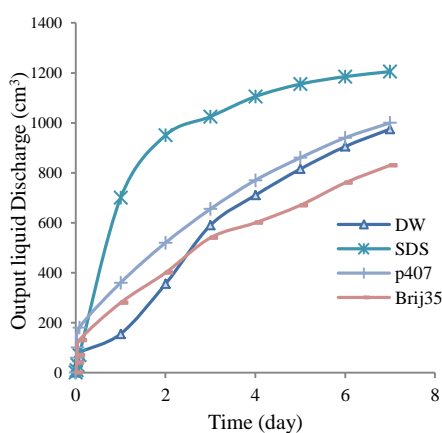


Fig. 5. Cumulative volume of Discharge fluid from cathode reservoir with time

ثابت دی الکتریک (D) سیال مناسب است و با ویسکوزیته سیال (η) رابطه معکوس دارد [15].

$$v = -\frac{DE_z \zeta}{\eta} \quad (1)$$

یکی از پارامترهای موثر مطابق رابطه (1) پتانسیل زتا است. پتانسیل زتا در حقیقت نشان دهنده خواص بار سطحی کانی‌های خاک است. این پارامتر به عوامل متعددی از جمله کانی‌های سازنده، دما و pH بستگی دارد [49]. نقطه بار صفر PZC<sup>۳</sup> به ای pH ای گفته می‌شود که در آن بار خالص روی سطح ذرات صفر است. هنگامی که مقدار pH کمتر از PZC می‌شود، بار سطحی ذرات و پتانسیل زتا خاک مثبت است و به طور عکس زمانی که مقدار pH بیشتر از PZC باشد، پتانسیل زتا منفی (از لحظه جبری بزرگتر) است و جریان الکترواسمزی با سرعت بیشتری رخ می‌دهد.

با توجه به مطالب بیان شده و نتایج به دست آمده از میزان pH خاک جدول (۵) در آزمایش SDS (آزمایش ۲) میزان pH خاک کمتر به سمت اسیدی شدن تغییر یافته و در نتیجه سبب افزایش پتانسیل زتا (از لحظه جبری) می‌شود. در نتیجه سرعت جریان عبوری افزایش می‌یابد. در آزمایش مربوط به SDS به علت آن که این ماده بر روی افزایش pH و در نتیجه افزایش پتانسیل زتا روی خاک موثر بوده است، میزان حجم جریان خروجی ناشی از آن نسبت به سایر آزمایش‌ها بیشتر است. همینطور برای آزمایش Poloxamer 407 (آزمایش ۳) در جدول (۵) نیز مشاهده می‌شود که میزان pH قلیاییت بیشتری نسبت به دو آزمایش آب مقطر و Brij 35 داشته و در نتیجه حجم مایع خروجی بیشتری مشاهده می‌شود.

بنابراین حجم مایع خروجی از توده خاک بستگی به پتانسیل زتا دارد. کاهش حجم خروجی از نمونه در نتیجه افزایش پتانسیل زتا و کاهش pH خاک می‌باشد. Kaya & yukselen در سال ۲۰۰۵ اثر شوینده‌های یونی و غیریونی را روی

3 point of zero charge

نتایج این تحقیق نیز مشابه یافته‌های Sadeghian و همکاران (۲۰۲۲) می‌باشد [1]. آن‌ها با انجام آزمایش الکتروکیتیک نتیجه گرفتند که افزایش مقاومت برشی خاک رسی بیشتر به دلیل افزایش pH رخ می‌دهد. آن‌ها بیان کردند که یکی از علت‌های اصلی افزایش مقاومت برشی افزایش قلیاییت خاک و تشکیل مواد سیمانی می‌باشد. به طور کلی مقایسه نتایج مقاومت برشی و تغییرات pH نشان داد که با افزایش فاصله از آند هر دو پارامتر افزایش می‌یابند و دارای رابطه‌ای مستقیم هستند و میزان افزایش به نوع محلول مورد استفاده در آند بستگی دارد.

شکل ۶. تغییرات مقاومت برشی در برابر pH

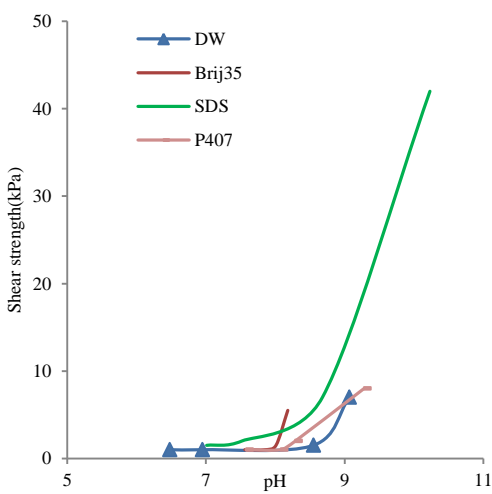


Fig. 6. Variations of shear strength against pH

### ۶-۳ تغییرات pH خاک و درصد آلاینده پاکسازی شده

به منظور تعیین درصد آلاینده پاکسازی شده از خاک، روش آبشویی تشریح شده در بخش‌های قبلی مورد استفاده قرار گرفت. نتایج نشان می‌دهد علاوه بر فاصله از آند، نوع محلول به کار رفته نیز در میزان پاکسازی موثر می‌باشد. زیرا تفاوت در نوع محلول سبب تغییر در پارامترهای شیمیایی خاک از جمله pH می‌شود. این امر سبب تاثیر در میزان پاکسازی آلاینده می‌شود. همان‌طوری که در شکل (۷) مشاهده می‌شود، بیشترین پاکسازی خاک برای هر محلول در مقادیر pH کم و

### ۵-۳ رابطه مقاومت برشی زهکشی نشده با pH خاک

پس از پایان هر آزمایش همان‌گونه که بیان شد، اقدام به اندازه‌گیری مقاومت برشی زهکشی نشده خاک و پس از آن pH آن شد. مقادیر مقاومت برشی اندازه‌گیری شده در برابر مقدار pH متناظر با آن در فاصله‌های مشخص از آند برای هر آزمایش مطابق شکل (۶) نشان داده شده است. همان‌طوری که در این شکل مشاهده می‌شود، مقاومت نمونه خاک و pH برای هر محلول با افزایش فاصله از آند افزایش می‌یابد و در حوالی کاتد به حداقل خود می‌رسد. برای کلیه محلول‌های مورد استفاده، مقاومت برشی در اطراف آند حداقل است و با افزایش فاصله از آند مقدار آن افزایش می‌یابد به طوری که در کاتد حداقل می‌شود. همان‌طور که در شکل (۳) مشاهده می‌شود، در اطراف آند جبهه اسیدی و در مجاورت کاتد جبهه قلیایی تشکیل می‌شود. در محیط اسیدی اتصال و پیوند بین ذرات از بین می‌رود و ساختمان خاک تقریباً به حالت فولوکوله تبدیل می‌شود. لیکن در جبهه قلیایی ساختار خاک پراکنده می‌شود و پیوند بین ذرات به علت رسوب مواد چسبنده محکم است. بنابراین تغییر pH موجب تغییرات ساختار خاک می‌شود [52]. خروج آب و مایع از نمونه خاک نیز در افزایش مقاومت موثر است، زیرا با خروج آب تنش موثر افزایش می‌یابد و منجر به افزایش مقاومت می‌شود. همان‌طور که در شکل (۵) ملاحظه می‌شود، حجم مایع خروجی برای محلول SDS بیشتر از سایر شوینده‌ها است؛ بنابراین مقاومت تولید شده ناشی از استفاده آن بیشتر از سایر محلول‌ها است (شکل ۶). می‌توان گفت به علت یونی بودن شوینده SDS عمل متقابل آن با ذرات خاک بیشتر از سایر شوینده‌ها است که منجر به افزایش مقاومت می‌شود. نتایج شکل (۶) نشان می‌دهد که در محیط قلیایی SDS مقاومت بیشتری تولید می‌کند. علت آن را می‌توان مربوط به pH در اطراف کاتد دانست. زیرا افزایش قلیایی بودن محیط موجب پیوندهای قوی نسبت به حالت کمتر بودن قلیایی محیط می‌نماید. این یافته‌ها با نتایج ارائه شده به وسیله Burnotte و همکاران (۲۰۰۸) و Rittirong (۲۰۰۴) هماهنگی دارد [53, 54].

خاک یکسری Micelles تشکیل می‌شود که آلودگی را احاطه می‌نمایند و به وسیله جریان مایع به کاتد و خارج از خاک انتقال می‌یابد [57]. این منابع با یافته‌های گزارش شده توسط Yang و همکاران (۲۰۰۵) و Park و همکاران (۲۰۰۷) در خصوص پاکسازی خاک آلوده به فناوری هماهنگی دارد [58, 59].

شکل ۷. تغییرات درصد پاکسازی در مقابل بین pH خاک

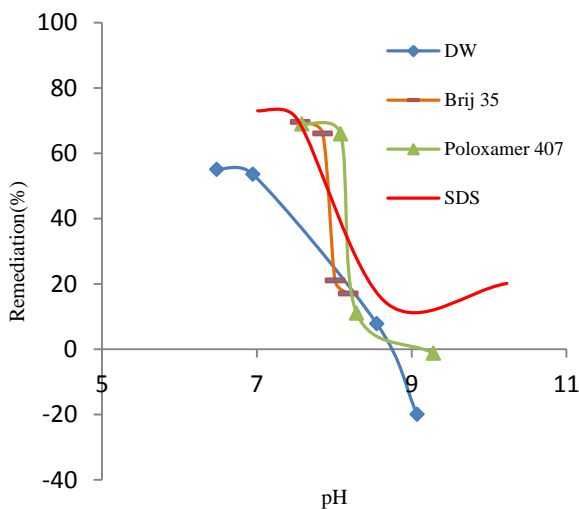


Fig. 7. Variations of remediation against pH

#### ۴- نتیجه‌گیری

در این کار تحقیقاتی اثر سورفکتانت‌های یونی و غیریونی و آب مقطر بر پاکسازی یک خاک رسی آلوده به ماده دی‌متیل‌فتالات با انجام آزمایش‌های الکتروکیتیک مورد مطالعه و بررسی قرار گرفت. نتایج حاصل از این تحقیق به شرح زیر است:

۱- تغییرات مقادیر pH و EC در مخازن آند و کاتد و نیز حجم مایع خروجی از توده خاک تابعی از نوع آنولیت به کار رفته می‌باشد.

۲- تغییرات مقاومت برشی و درصد پاکسازی برای هر نوع آنولیت به کار برده شده تابعی از فاصله از آند است. به طوری که با افزایش فاصله از آند مقاومت برشی افزایش و درصد پاکسازی کاهش می‌یابد.

به عبارتی در محیط اسیدی رخ می‌دهد و کمترین در محیط قلیایی و pH بیشتر از ۷ رخ می‌دهد.

نتایج ارائه شده در شکل (۷) نشان می‌دهد وقتی که از آب مقطر برای پاکسازی استفاده می‌شود، مقادیر پاکسازی در فواصل ۴، ۱۲، ۱۹ و ۲۶ سانتی‌متری از آند به ترتیب برابر با ۵۵، ۵۳/۵۳، ۷/۷۷ و ۲۰-۷/۷۷ درصد می‌باشد. این مقادیر نشان می‌دهد که پاکسازی دی‌متیل‌فتالات به وسیله آب مقطر چندان قابل ملاحظه نمی‌باشد. زیرا آب قادر به جداسازی آن از خاک نمی‌باشد. به عبارتی حالت این آلینده در آب محدود می‌باشد. بنابراین پاکسازی خاک آلوده به آلینده آلی غیر محلول از این روش امکان پذیر نیست [55]. در آزمایش آب مقطر حتی در مجاورت کاتد تجمع آلینده مشاهده می‌شود. Giannis و همکاران (۲۰۱۲) نیز هنگام پاکسازی یک خاک آلوده به پیون در نزدیکی کاتد تجمع آلینده را مشاهده نمودند [56]. اما با استفاده از شوینده، جداسازی ماده آلی غیر محلول در آب صورت می‌پذیرد که در طی این فرآیند یکسری میسل تشکیل می‌شود و به وسیله جریان الکترواسمر از محیط خارج می‌شود [15]. از نتایج مندرج در شکل (۷) نتیجه گیری می‌کنیم که درصد پاکسازی در فاصله ۴ سانتی‌متری از آند برای شوینده‌های SDS، Brij 35 و Poloxamer 407 به ترتیب برابر با ۶۹/۵۵، ۷۳ و ۶۸/۹۴ می‌باشد. نتیجه گیری می‌شود که SDS نسبت به سایر شوینده‌ها در پاکسازی موثرتر است. همچنین نتایج حجم مایع خروجی از خاک شکل (۵) نشان می‌دهد که میزان آن برای شوینده‌های SDS، Brij 35 و Poloxamer 407 به ترتیب برابر با ۱۲۰۵، ۱۰۰۰ و ۸۳۰ میلی‌لیتر است. بنابراین می‌توان گفت نوع شوینده و حجم مایع خروجی یکی از عوامل موثر در پاکسازی خاک آلوده می‌باشند. دلیل دیگر موثر بودن SDS نسبت به سایر شوینده‌ها در پاکسازی را می‌توان به غلظت کم CMC و بالا بودن HLB (Hydrophilic-lipophilic balance) آن نسبت به سایر شوینده‌ها مرتبط دانست. Ko در سال ۱۹۹۸ با انجام آزمایشات دریافت که در هنگام استفاده از شوینده SDS امکان دارد بار الکتریکی آن در pH پایین (اطراف آند) کاهش یابد و وارد توده خاک آلوده شود. در این صورت در داخل توده

- 10- Gidudu B. & Chirwa E.M. 2022 The Role of pH, Electrodes, Surfactants, and Electrolytes in Electrokinetic Remediation of Contaminated Soil. *Molecules*, 27(21), 73-81.
- 11- Reed B. E., Berg M. T., Thompson J.C. & Hatfield J. H. 1995 Chemical conditioning of electrode reservoirs during electrokinetic soil flushing of Pb-contaminated silt loam. *Journal of Environmental Engineering*, 121(11), 805-815.
- 12- Yeung A. T., Hsu C. N. & Menon R. M. 1996 EDTA-enhanced electrokinetic extraction of lead. *Journal of Geotechnical Engineering*, 122(8), 666-673.
- 13- Wong J. S., Hicks R. E. & Probstein R. F. 1997 EDTA-enhanced electroremediation of metal-contaminated soils. *Journal of Hazardous Materials*, 55(1-3), 61-79.
- 14- Gu Y., Yeung A. T. & Li, H. 2018 Enhanced electrokinetic remediation of cadmium-contaminated natural clay using organophosphonates in comparison with EDTA. *Chinese Journal of Chemical Engineering*, 26(5), 1152-1159.
- 15- Reddy K. R. & Saichek R. E. 2004 Enhanced electrokinetic removal of phenanthrene from clay soil by periodic electric potential application. *Journal of Environmental Science and Health, Part A*, 39(5), 1189-1212.
- 16- Saichek R. E. & Reddy, K. R. 2003 Effect of pH control at the anode for the electrokinetic removal of phenanthrene from kaolin soil. *Chemosphere*, 51(4), 273-287.
- 17- Maturi K. & Reddy K. R. 2006 Simultaneous removal of organic compounds and heavy metals from soils by electrokinetic remediation with a modified cyclodextrin. *Chemosphere*, 63(6), 1022-1031.
- 18- Han H., Lee Y. J., Kim S. H. & Yang J. W. 2009 Electrokinetic remediation of soil contaminated with diesel oil using EDTA-Cosolvent solutions. *Separation Science and Technology*, 44(10), 2437-2454.
- 19- Reddy K. R., Cameselle C. & Ala P. 2010 Integrated electrokinetic-soil flushing to remove mixed organic and metal contaminants. *Journal of applied electrochemistry*, 40, 1269-1279.
- 20- Boulakradeche M. O., Akretche D. E., Cameselle C. & Hamidi N. 2015 Enhanced electrokinetic remediation of hydrophobic organics contaminated soils by the combination of non-ionic and ionic surfactants. *Electrochimica Acta*, 174, 1057-1066.
- 21- Estabragh A. R., Lahoori M., Javadi A. A. & Abdollahi J. 2019 Effect of a surfactant on enhancing efficiency of the electrokinetic method in removing anthracene from a clay soil. *Journal of Environmental Chemical Engineering*, 7(5), 103298.

۳- تغییرات pH در طول توده خاک تابعی از تغییرات pH مخازن آند و کاتد است. این تغییرات توده خاک را به دو بخش اسیدی و قلیایی تقسیم می‌کنند. به طوری که در بخش اسیدی پاکسازی افزایش و مقاومت کاهش و در بخش قلیایی عکس آن صورت می‌پذیرد.

۴- مقایسه شوینده‌های مورد استفاده نشان می‌دهد که شوینده SDS در افزایش مقاومت و درصد پاکسازی نسبت به سایر مواد برتری دارد.

## ۵- مراجع

- 1- Sadeghian F., Jahandari S., Haddad A., Rasekh H. & Li J. 2022 Effects of variations of voltage and pH value on the shear strength of soil and durability of different electrodes and piles during electrokinetic phenomenon. *Journal of Rock Mechanics and Geotechnical Engineering*, 14(2), 625-636.
- 2- Acar Y. B. & Alshawabkeh A. N. 1993 Principles of electrokinetic remediation. *Environmental science & technology*, 27(13), 2638-2647.
- 3- Eykholt G. R. & Daniel D. E. 1994 Impact of system chemistry on electroosmosis in contaminated soil. *Journal of geotechnical engineering*, 120(5), 797-815.
- 4- Bruell C. J., Segall B. A. & Walsh M. T. 1992 Electroosmotic removal of gasoline hydrocarbons and TCE from clay. *Journal of Environmental Engineering*, 118(1), 68-83.
- 5- Shapiro A. P. & Probstein R. F. 1993 Removal of contaminants from saturated clay by electroosmosis. *Environmental Science & Technology*, 27(2), 283-291.
- 6- Acar Y. B., Li H. & Gale R. J. 1992 Phenol removal from kaolinite by electrokinetics. *Journal of geotechnical engineering*, 118(11), 1837-1852.
- 7- Kim J. H., Han, S. J., Kim S. S. & Yang J. W. 2006 Effect of soil chemical properties on the remediation of phenanthrene-contaminated soil by electrokinetic-Fenton process. *Chemosphere*, 63(10), 1667-1676.
- 8- Jeon C. S., Yang J. S., Kim K. J. & Baek K. 2010 Electrokinetic removal of petroleum hydrocarbon from residual clayey soil following a washing process. *CLEAN–Soil, Air, Water*, 38(2), 189-193.
- 9- Villen-Guzman M., Paz-Garcia J. M., Rodriguez-Maroto J. M., Gomez-Lahoz C. & Garcia-Herruzo F. 2014 Acid enhanced electrokinetic remediation of a contaminated soil using constant current density: strong vs. weak acid. *Separation Science and Technology*, 49(10), 1461-1468.

- contaminated soil: strength and leachability in early stage. *Journal of Geotechnical and Geoenvironmental Engineering*, 147(8), 04021059.
- 33- Moreno J. D., Poznyak T., Chairez I. & Dorantes-Rosales H. J. 2020 Effect of the type of soil on dimethyl phthalate degradation by ozone. *Journal of environmental management*, 270, 110863.
- 34- Fathali H., Estabragh A. R., Shabankareh K. R. T. & Hoofar A. 2023 Remediation of A Clay soil contaminated with dimethyl phthalate by using electrokinetic method. *Ferdowsi Civil Engineering*, 36(1), 69-84.(in persian).
- 35- Gomes H. I., Dias-Ferreira C. & Ribeiro A.B. 2012 Electrokinetic remediation of organochlorines in soil: enhancement techniques and integration with other remediation technologies. *Chemosphere*, 87(10), 1077-1090.
- 36- Zhang Y., Jiao Y., Li Z., Tao Y. & Yang Y. 2021 Hazards of phthalates (PAEs) exposure: A review of aquatic animal toxicology studies. *Science of the Total Environment*, 771, 145418
- 37- Méndez-Díaz J. D., Rivera-Utrilla J., Sánchez-Polo M. & Bautista-Toledo I. 2012 Adsorption/biodesorption of phthalic acid, an organic micropollutant present in landfill leachates, on activated carbons. *Journal of colloid and interface science*, 369(1), 358-365.
- 38- Fan G., Cang L., Qin W., Zhou C., Gomes H. I. & Zhou D. 2013 Surfactants-enhanced electrokinetic transport of xanthan gum stabilized nanoPd/Fe for the remediation of PCBs contaminated soils. *Separation and Purification Technology*, 114, 64-72.
- 39- Hahladakis J. N., Calmano W. & Gidarakos, E. 2013 Use and comparison of the non-ionic surfactants Poloxamer 407 and Nonidet P40 with HP- $\beta$ -CD cyclodextrin, for the enhanced electroremediation of real contaminated sediments from PAHs. *Separation and purification technology*, 113, 104-113.
- 40- Asadollahfardi, G. & Rezaee M. 2019 Electrokinetic remediation of diesel-contaminated silty sand under continuous and periodic voltage application. *Environmental Engineering Research*, 24(3), 456-462.
- 41- Giannis A., Gidarakos E. & Skouta A. 2007 Application of sodium dodecyl sulfate and humic acid as surfactants on electrokinetic remediation of cadmium-contaminated soil. *Desalination*, 211(1-3), 249-260.
- 42- Estabragh A. R., Bordbar A. T., Ghaziani F. & Javadi A. A. 2016 Removal of MTBE from a clay soil using electrokinetic technique. *Environmental Technology*, 37(14), 1745-1756.
- 43- Mitchell J. K. & Soga K. 2005 Fundamentals of soil behavior, John Wiley & Sons, New York, 280-304.
- 22- Li Y. & Jiang L. 2021 Comparison of the crude oil removal effects of different surfactants in electrokinetic remediation of low-permeability soil. *Journal of Environmental Chemical Engineering*, 9(4), p.105190.
- 23- Fardin A. B., Jamshidi-Zanjani A. & Darban A. K. 2021 Application of enhanced electrokinetic remediation by coupling surfactants for kerosene-contaminated soils: Effect of ionic and nonionic surfactants. *Journal of Environmental Management*, 277, p.111422.
- 24- Mohamadi S., Saeedi M. & Mollahosseini A. 2021 Strategies for the sustainable practice of electrokinetic technology: The case of mixed contaminants in a clayey soil. *Cleaner Engineering and Technology*, 3, 100-130.
- 25- Ganbat N., Altaee A., Zhou J. L., Lockwood T., Al-Juboori R. A., Hamdi F. M., Karbassiyazdi E., Samal A. K., Hawari A. & Khabbaz, H. 2022 Investigation of the effect of surfactant on the electrokinetic treatment of PFOA contaminated soil. *Environmental Technology & Innovation*, 28, p.102938.
- 26- Effendi A. J., Ramadan B. S. & Helmy, Q. 2022 Enhanced remediation of hydrocarbons contaminated soil using electrokinetic soil flushing-Landfarming processes. *Bioresource Technology Reports*, 17, p.100959.
- 27- Tang J., Tang H., Liu G., Zhang S., Ao Z., Sima W., Wang H., Zhang H., Liang R. & Liang C. 2022 Surfactant combined with PASP enhance electrokinetic remediation removal heavy metal and hydrocarbon from contaminated soil. *International Journal of Environmental Analytical Chemistry*, pp.1-13.
- 28- Huang Q., Zhou M., Zhou J., Chu L. & Cang L. 2022 Roles of oxidant, activator, and surfactant on enhanced electrokinetic remediation of PAHs historically contaminated soil. *Environmental Science and Pollution Research*, 29(59), pp.88989-89001.
- 29- Li M., Zhou H., Wangjin Y., Ye M., Xu X. & Li X. 2023 Remediation of Cd-contaminated soil by electrokinetics coupled with the permeable reactive barrier from immobilized yeast. *Science of The Total Environment*, 882, p.163451.
- 30- Li S., Chi Z. & Li W. 2019 In vitro toxicity of dimethyl phthalate to human erythrocytes: From the aspects of antioxidant and immune functions. *Environmental Pollution*, 253, 239-245.
- 31- Lü H., Mo C. H., Zhao H. M., Xiang L., Katsogiannis A., Li Y. W., Cai, Q.Y. & Wong M.H. 2018 Soil contamination and sources of phthalates and its health risk in China: a review. *Environmental research*, 164, 417-429.
- 32- Wang F., Xu J., Zhang Y., Shen Z. & Al-Tabbaa A. 2021 MgO-GGBS binder-stabilized/solidified pae-

Institution of Civil Engineers-Ground Improvement, 175 (2), 114-126.

53- Rittirong A., Douglas R. S., Shang J. Q. & Lee E. C. 2008 Electrokinetic improvement of soft clay using electrical vertical drains. *Geosynthetics International*, 15(5), 369-381.

54- Burnotte F., Lefebvre G. & Grondin G. 2004 A case record of electroosmotic consolidation of soft clay with improved soil electrode contact. *Canadian Geotechnical Journal*, 41 (6), 1038-1053.

55- Maturi K., Reddy K. R. & Cameselle C. 2009 Surfactant-enhanced electrokinetic remediation of mixed contamination in low permeability soil. *Separation Science and Technology*, 44 (10), 2385-2409.

56- Giannis A., Tay E., Kao J. & Wang J. Y. 2012 Impact of vertical electrokinetic-flushing technology to remove heavy metals and polycyclic aromatic hydrocarbons from contaminated soil. *Electrochimica acta*, 86, 72-79.

57- Ko S. O. 1998 Electrokinetic/surfactant-enhanced remediation of hydrophobic organic pollutants in low permeability subsurface environments. Texas A&M University.

58- Yang J. W., Lee Y. J., Park J.Y., Kim S. J. & Lee J. Y., 2005. Application of APG and Calfax 16L-35 on surfactant-enhanced electrokinetic removal of phenanthrene from kaolinite. *Engineering Geology*, 77 (3-4), 243-251.

59- Park J. Y., Lee H. H., Kim S. J., Lee Y. J. & Yang J. W. 2007 Surfactant-enhanced electrokinetic removal of phenanthrene from kaolinite. *Journal of hazardous materials*, 140 (1-2), 230-236.

44- ASTM D1293-18 (American Society for Testing and Materials). 2018 Standard Test Methods for pH of Water, US.

45- ASTM D1125-14 (American Society for Testing and Materials). 2023 Standard Test Methods for Electrical Conductivity and Resistivity of Water (Withdrawn 2023), US.

46- ASTM D4648-00 (American Society for Testing and Materials). 2017 Standard Test Method for Laboratory Miniature Vane Shear Test for Saturated Fine-Grained Clayey Soil, US.

47- ASTM-D4972 (American Society for Testing and Materials), 2019 Standard Test Methods for pH of Soils, US.

48- EPA (U.S. Environmental Protection Agency). 1996 Phthalate Esters By Gas Chromatography With Electron Capture Detection (GC/ECD), Washington, D.C.

49- Vane L. M. & Zang G. M. 1997 Effect of aqueous phase properties on clay particle zeta potential and electro-osmotic permeability: Implications for electrokinetic soil remediation processes. *Journal of Hazardous Materials*, 55(1-3), 1-22.

50- Kaya A. & Yukselen Y. 2005 Zeta potential of clay minerals and quartz contaminated by heavy metals. *Canadian Geotechnical Journal*, 42 (5), 1280-1289.

51- Estabragh A. R., Bordbar A.T. & Javadi A. A. 2018 Effect of Quality Electrolyte Fluid on Removing MTBE from a Clay Soil Using Electrokinetic Technique. *Journal of Environmental Engineering*, 144 (10), 04018102.

52- Estabragh A. R., Moghadas M., Javadi A. A. & Abdollahi J. 2022 Stabilisation of a clay soil by ion injection using an electrical field. *Proceedings of the*

## Effect of different surfactants on the remediation of a clay soil contaminated with Dimethyl phthalate by electrokinetic method

H Fathali<sup>1</sup>, A Raeesi Estabragh<sup>\*2</sup>

1 PhD candidate in hydraulic structure engineering, Department of Irrigation and Reclamation engineering , Faculty of Agricultural, Campus of Agriculture and Natural Resources, University of Tehran.

2\* Professor, Department of Irrigation and Reclamation engineering , Faculty of Agricultural, Campus of Agriculture and Natural Resources, University of Tehran

Email: raeesi@ut.ac.ir

### Abstract:

Electrokinetic technique is one of the common methods that can be used for removal of organic contaminants in soil. There are some of organic contaminants with low solubility in water. In order to improve the efficiency of remediation in this method it is possible to use appropriate surfactants as flushing solution. In this work SDS, Poloxamer 407 and Brij 35 surfactants were selected for improving the remediation of a clay soil contaminated with Dimethyl phthalate (DMP). The contaminated soil was prepared artificially with the concentration of 40 mg/kg in the laboratory. Experimental tests were conducted in a special apparatus. It was consisted of a Plexiglas with 1 cm thickness as the main cell. The main cell dimensions were 30 cm in length, 10 cm in width and 30 cm in height. Two reservoirs as anode and cathode were added on the two sides of the main cell and they were connected to the main cell. The prepared contaminated soil after saturated was poured into the main cell of apparatus. The anode and cathode reservoirs were filled with desired solution of surfactant and distilled water respectively. The level of fluids in both reservoirs was the same as the level of soil in the main cell. A constant voltage of 50 V was applied to the soil for duration of 7 days for all tests. A reference test was also conducted with distilled water in anode and cathode reservoirs under the same voltage and duration. During each test the pH, EC (electrical conductivity) and volume of outflow liquid discharge were measured. At the end of each test, the shear strength of soil was measured by shear van at the distance of 4, 12, 19 and 26 cm from anode. A number of soil samples were also extracted from these points for pH measurement and removal of DMP by using GC (Gas Chromatography) apparatus. The results showed that the shear strength of soil is increased with increasing the distance from anode. The values of shear strength around the cathode were measured as 7, 5.5, 8 and 42 kPa for distilled water and solutions of Brij 35, Poloxamer 407 and SDS respectively. It was revealed that by increasing the distance from anode the value of pH was also changed from acidic to alkaline. In addition, the results indicated that the percentage of remediation at the distance of 4, 12, 19 and 26 cm from anode for solution of SDS were 73, 70.5, 14 and 20.12 and for Brij 35 they were changed to 69.55, 66.21 and 17 % respectively. The percentage of remediation for solution of Poloxamer 407 were also determined 68.94, 65.89, 10.97 and -1.24 and for distilled water as 55, 53.3, 7.77 and -20 % at the same distance from anode respectively. The results showed that the effectiveness of solution surfactants in removal of DMP was SDS>Brij 35> Poloxamer 407.

**Keywords:** Electrokinetic, Dimethyl phthalate, Clay soil, Remediation, pH